

УДК 662.311.1

ГОРЕНИЕ ПОРОХОВ ПРИ СВЕТОВОМ ОБЛУЧЕНИИ

И. Г. Ассовский, А. Г. Истратов

(*Москва*)

Имеющиеся в литературе работы по нестационарным процессам при световом облучении порохов посвящены главным образом вопросу о зажигании [1-3]¹. Представляет также интерес рассмотрение влияния на процесс горения пороха такого легко регулируемого воздействия, как световое облучение.

В работе предпринята попытка оценить зависимость скорости горения пороха от интенсивности светового облучения. Рассмотрены случаи стационарного режима горения и режима горения при гармонически меняющемся во времени световом потоке. Предполагалось, что световой поток, падающий на поверхность пороха, поглощается в конденсированной фазе по экспоненциальному закону Бугера — Ламберта с постоянным показателем прозрачности. Стационарное горение пороха рассматривалось в рамках теории Я. Б. Зельдовича [4]. Показано, что в стационарном режиме световое облучение эквивалентно некоторому увеличению начальной температуры пороха. Это позволяет в случае горения при облучении использовать данные о стационарном горении без облучения. Нестационарное горение при периодически меняющемся световом потоке описывалось с помощью модели Б. В. Новожилова [5]. Получена поправка Δu° к средней скорости горения, пропорциональная квадрату амплитуды светового потока. В случае экспоненциальной зависимости скорости горения от начальной температуры поправка Δu° отрицательна.

Обсуждено влияние облучения на устойчивость стационарного режима горения пороха.

1. Стационарное облучение. Закон горения. Уравнение, описывающее изменение температуры в конденсированной фазе (k -фазе) при передаче тепла путем теплопроводности и излучением, имеет вид

$$\rho c \left(\frac{\partial T}{\partial t} + u \frac{\partial T}{\partial x} \right) = \frac{\partial}{\partial x} \left(\lambda \frac{\partial T}{\partial x} + J(t) e^{\sigma x} \right) \quad (-\infty < x \leq 0) \quad (1.1)$$

где $J(t)$ — доля падающего светового потока ($\text{кал}/\text{сек}\cdot\text{см}^2$), поглощающаяся в k -фазе; σ — показатель прозрачности k -фазы в законе Бугера — Ламберта ($1/\text{см}$); ρ, c, λ — соответственно плотность, теплоемкость и теплопроводность k -фазы; u — скорость горения пороха.

При этом должны выполняться граничные условия

$$T(-\infty) = T_0, \quad T(0) = T_1 \quad (1.2)$$

где T_0 — начальная температура пороха, T_1 — температура поверхности пороха.

В стационарном случае уравнение (1.1) легко интегрируется и решение его имеет вид [6]

$$T - T_0 = (T_1 - T_0) \exp \frac{u^\circ}{\kappa} x + \frac{J^\circ}{\lambda(u^\circ/\kappa - \sigma)} \left(e^{\sigma x} - \exp \frac{u^\circ}{\kappa} x \right), \quad \kappa = \frac{\lambda}{\rho c} \quad (1.3)$$

В случае малой прозрачности пороха ($\sigma x / u^\circ \gg 1$) решение (1.3) по абсолютной величине стремится к михельсоновскому распределению

$$T - T_0 = (T_1 - T_0) \exp \left(\frac{u^\circ}{\kappa} x \right) \quad (1.4)$$

¹ Похил П. Ф. Механизм горения коллоидных порохов. Докт. дисс., ч. 3, М., Ин-т хим. физики АН СССР, 1954.

При любом значении показателя прозрачности кривая температур (1.3) проходит выше михельсоновского распределения (1.4).

Градиент температуры у поверхности пороха f^o в стационарном режиме связан с начальной температурой T_0 соотношением

$$\kappa f^o = u^o (T_1^o - T_0) - J^o / \rho c \quad (1.5)$$

которое в отсутствие светового облучения ($J^o = 0$) переходит в известное соотношение, соответствующее распределению (1.4)

$$\kappa f_0^o = u_0^o (T_{10}^o - T_0) \quad (1.6)$$

Отметим, что градиент f^o при стационарном облучении не зависит от показателя прозрачности пороха σ .

Поскольку при стационарном горении пороха градиент f^o не может быть отрицательным, то из (1.5) следует ограничение сверху на величину светового потока J^o , при которой возможен стационарный режим

$$\frac{J^o}{u^o \rho c (T_1^o - T_0)} < 1 \quad (1.7)$$

В частности, для модели Я. Б. Зельдовича, в которой T_1 постоянна, и зависимости u_0^o от T_0 типа $u_0^o \sim e^{\beta T_0}$ существует максимальная скорость горения u_M^o , достигаемая при начальной температуре T_0 , близкой к температуре поверхности T_1 . В этом случае отношение (1.7) стремится к единице, а $u^o \rightarrow u_M^o$ при конечных световых потоках J^o . Кроме того, отношение (1.7) не должно быть слишком близко к единице, иначе малость градиента f^o приведет к сильному расширению зоны химической реакции в k -фазе, так что модель горения Я. Б. Зельдовича будет неприменима. При этом прогретый поверхностный слой пороха может периодически взрываться по тепловому механизму.

Далее, пусть в отсутствие облучения известны зависимости скорости горения u_0^o и температуры поверхности T_{10}^o от начальной температуры T_0 и давления p

$$u_0^o = F(T_0, p), \quad T_{10}^o = G(T_0, p) \quad (1.8)$$

Пользуясь соотношением (1.6), можно выразить u_0^o и T_{10}^o через p и f_0^o . Полученные стационарные законы $u(p, f)$, $T_1(p, f)$ согласно теории Б. В. Новожилова [5] будут справедливы и в нестационарном случае.

Предположим теперь, что зависимости $u(p, f)$ и $T_1(p, f)$, полученные при $J = 0$, остаются справедливыми и при наличии светового потока. Тогда, подставляя в зависимость $u_0^o = F(p, T_0)$ соотношение (1.6) и заменяя f_0^o выражением для f^o из (1.5), получим зависимость стационарной скорости горения u^o от начальной температуры T_0 при облучении

$$u^o = F\left(p, T_0 + \frac{J^o}{u^o \rho c}\right) \quad (1.9)$$

Таким образом, увеличение скорости горения от u_0^o до u^o при облучении поверхности пороха стационарным световым потоком эквивалентно изменению скорости при увеличении начальной температуры на величину

$$\Delta T_0 = J^o / u^o \rho c \quad (1.10)$$

Исходя из этого, удобно находить скорость u^o при облучении следующим способом (фиг. 1): в системе координат (u, T) строятся графики функций $F^{-1}(u)$ и $(T_0 + J^o / u^o \rho c)$, точка пересечения графиков определит ис-

комую скорость u° и эффективную начальную температуру T_0^*

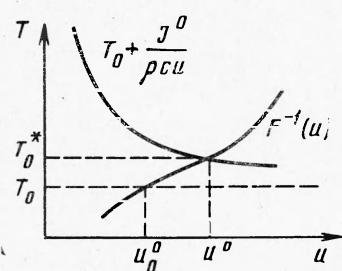
$$T_0^* = T_0 + J^\circ / u^\circ \rho c \quad (1.11)$$

Эквивалентность светового потока и начальной температуры для случая достаточно прозрачных порохов была отмечена ранее в работе [6].

Формула (1.10) позволяет определять световые потоки, необходимые для достижения заданного уровня скорости горения u° при известной зависимости u_0° от начальной температуры

$$J^\circ = \Delta T_0 \rho c u^\circ$$

Так, для пороха H согласно экспериментальным данным [7] при давлении $p = 1$ атм для повышения скорости горения от 0.6 (при $T_0 = 0^\circ\text{C}$)



до 1.02 мм/сек требуется световой поток, равный $2.8 \text{ кал}/\text{см}^2 \cdot \text{сек}$, что соответствует повышению начальной температуры T_0 до $T_0^* = 50^\circ\text{C}$. При давлении $p = 20$ атм для повышения скорости горения от 0.26 см/сек ($T_0 = 0^\circ\text{C}$) до 0.35 см/сек ($T_0^* = 50^\circ\text{C}$) требуется световой поток $J^\circ = 7.3 \text{ кал}/\text{см}^2 \cdot \text{сек}$.

При малых величинах освещенности ($J^\circ / u^\circ \rho c (T_1^\circ - T_0) \ll 1$) справедливо приближенное выражение для u° , вычисленное с точностью до поправки, пропорциональной квадрату величины светового потока J°

$$u^\circ = u_0^\circ [1 + k\delta + \frac{1}{2} (l - 2k^2) \delta^2] \quad (1.12)$$

где u_0° — стационарная скорость при отсутствии облучения

$$\delta = \frac{J^\circ}{u_0^\circ \rho c (T_{10}^\circ - T_0)}, \quad k = (T_{10}^\circ - T_0) \frac{\partial \ln u_0^\circ}{\partial T_0}, \quad l = \frac{(T_{10}^\circ - T_0)^2}{u_0^\circ} \frac{\partial^2 u_0^\circ}{\partial T_0^2} \quad (1.13)$$

Здесь, как и ранее, градус означает стационарную величину, а нулевой индекс означает, что величина берется при $J^\circ = 0$.

2. Устойчивость стационарного горения при облучении. Эквивалентность стационарного облучения поверхности пороха некоторому увеличению начальной температуры позволяет использовать в задачах о горении с облучением данные о стационарном горении без облучения. Это осуществляется простым пересчетом истинной начальной температуры T_0 на эффективную T_0^* .

Однако в нестационарных режимах горения при облучении соотношение (1.5) перестает быть справедливым и градиент температуры у поверхности пороха будет зависеть от показателя прозрачности k -фазы σ . В связи с этим такие характеристики пороха, как граница устойчивости стационарного режима горения и собственная частота пороха, в общем случае зависят от σ и J° .

Тем не менее при малой прозрачности пороха, когда свет поглощается в узком приповерхностном слое k -фазы, ширина которого пренебрежима по сравнению с шириной зоны прогрева ($\sigma x / u^\circ \gg 1$), распределение тепла в k -фазе при облучении имеет такой же вид, как в отсутствие облучения. В этом предельном случае формулы для границы устойчивости стационарных режимов горения и собственной частоты пороха, полученные в отсутствие облучения [4, 5], сохраняют прежний вид. Так, например, для случая постоянной температуры поверхности устойчивые стационарные режимы имеют место при условии [4]

$$k^* < 1 \quad (2.1)$$

где k^* — критерий Я. Б. Зельдовича, вычисленный при $T_0 = T_0^*$

$$k^* = k(T_0^*) = (T_1 - T_0^*) \frac{\partial \ln u^\circ}{\partial T_0^*} \quad (2.2)$$

Для зависимости $u_0^\circ(T_0)$ вида $u_0^\circ \sim \exp \beta T_0^*(k = \beta(T_1 - T_0))$ наличие светового облучения приводит к уменьшению критерия k , т. е. устойчивость горения повышается.

При переменной температуре поверхности устойчивые стационарные режимы удовлетворяют условию [5]

$$r^* > (k^* - 1)^2/(k^* + 1) \quad (2.3)$$

где r^* — параметр Б. В. Новожилова при $T_0 = T_0^*$

$$r^* = \partial T_1^\circ / \partial T_0^* \quad (2.4)$$

При этом наличие светового облучения, так же как повышение начальной температуры, может привести как к увеличению устойчивости горения, так и к уменьшению. Например, для пороха H согласно данным [7] световое облучение приближает стационарный режим горения к границе устойчивости (2.3). Отметим, что условия (2.1) и (2.3) подтверждаются и точным рассмотрением задачи о собственной частоте пороха в предположении его малой прозрачности.

3. Периодическое облучение. Квазилинеаризация задачи. Рассмотрим теперь горение пороха при периодически меняющейся освещенности поверхности пороха, предполагая постоянство давления. Пусть среднее значение светового потока равно J° , так что

$$J = J^\circ + \Delta J \cos \omega t \quad (3.1)$$

а скорость горения и температура поверхности в стационарном режиме при $J = J^\circ$ равны соответственно u° и T_1° . Введем безразмерные переменные

$$\begin{aligned} \theta &= \frac{T - T_0^*}{T_1^\circ - T_0^*}, & \xi &= \frac{u^\circ}{\kappa} x, & \tau &= \frac{(u^\circ)^2}{\kappa} t \\ \varphi &= \left(\frac{\partial \theta}{\partial \xi} \right)_{\xi=0}, & v &= \frac{u}{u^\circ}, & \eta &= \frac{J}{u^\circ \rho c (T_1^\circ - T_0^*)} \end{aligned} \quad (3.2)$$

В этих переменных задача ставится следующим образом: при заданном законе изменения светового потока

$$\eta(\tau) = \alpha + \varepsilon \cos \gamma \tau \quad (3.3)$$

и известных функциях

$$v = v(\varphi), \quad \vartheta = \vartheta(\varphi) \quad \left(\vartheta = \frac{T_1 - T_1^*}{T_1^\circ - T_0^*} \right) \quad (3.4)$$

найти $v = v(\tau)$, если градиент φ (3.2) подчиняется уравнению

$$\frac{\partial \theta}{\partial \tau} + v \frac{\partial \theta}{\partial \xi} = \frac{\partial}{\partial \xi} \left(\frac{\partial \theta}{\partial \xi} + \eta(\tau) e^{v \xi} \right) \quad (3.5)$$

с граничными условиями

$$\theta|_{\xi \rightarrow -\infty} = -\alpha, \quad \theta|_{\xi=0} = \vartheta \quad (3.6)$$

Здесь введены обозначения

$$\alpha = \frac{J^\circ}{u^\circ \rho c (T_1^\circ - T_0^*)}, \quad \varepsilon = \frac{\Delta J}{u^\circ \rho c (T_1^\circ - T_0^*)}, \quad \nu = \frac{\sigma \kappa}{u^\circ}, \quad \gamma = \frac{\omega \kappa}{(u^\circ)^2}, \quad (3.7)$$

Система (3.3) — (3.6) позволяет найти зависимость скорости горения и температуры поверхности пороха от времени. Имея целью нахождение только первой поправки порядка ε^2 к средней скорости горения, будем искать решение задачи в виде последовательных приближений

$$\begin{aligned} v(\tau) &= 1 + \varepsilon v_1(\tau) + \varepsilon^2 v_2(\tau) + \dots \\ \vartheta(\tau) &= 1 + \varepsilon \vartheta_1(\tau) + \varepsilon^2 \vartheta_2(\tau) + \dots \\ \theta(\tau, \xi) &= \theta_0(\xi) + \varepsilon \theta_1(\tau, \xi) + \varepsilon^2 \theta_2(\tau, \xi) + \dots \\ \varphi(\tau) &= \frac{\partial \theta}{\partial \xi} \Big|_{\xi=0} = 1 + \varepsilon \frac{\partial \theta_1}{\partial \xi} \Big|_{\xi=0} + \varepsilon^2 \frac{\partial \theta_2}{\partial \xi} \Big|_{\xi=0} + \dots \end{aligned} \quad (3.8)$$

Подставляя разложения (3.8) в уравнение (3.5), граничные условия (3.6) и соотношения (3.4), получим цепочку систем уравнений для нахождения последовательных приближений. Для первого приближения система уравнений имеет вид

$$\begin{aligned} \frac{\partial \theta_1}{\partial \tau} + \frac{\partial \theta_1}{\partial \xi} - \frac{\partial^2 \theta_1}{\partial \xi^2} + v_1 \frac{\partial \theta_0}{\partial \xi} &= v \cos(\gamma \tau) e^{\gamma \xi} \\ v_1 &= a_1 \varphi_1, \quad \varphi_1 = \frac{\partial \theta_1(\tau, 0)}{\partial \xi} \\ \theta_1(\tau, 0) &= \vartheta_1 = b_1 \varphi_1, \quad \theta_1(\tau, -\infty) = 0 \end{aligned} \quad (3.9)$$

Второе приближение удовлетворяет системе уравнений

$$\begin{aligned} \frac{\partial \theta_2}{\partial \tau} + \frac{\partial \theta_2}{\partial \xi} - \frac{\partial^2 \theta_2}{\partial \xi^2} + v_2 \frac{\partial \theta_0}{\partial \xi} &= -v_1 \frac{\partial \theta_1}{\partial \xi} \\ v_2 &= a_1 \varphi_2 + \frac{1}{2} a_2 \varphi_1^2, \quad \varphi_2 = \frac{\partial \theta_2(\tau, 0)}{\partial \xi} \\ \theta_2(\tau, 0) &= \vartheta_2 = b_1 \varphi_2 + \frac{1}{2} b_2 \varphi_1^2, \quad \theta_2(\tau, -\infty) = 0 \end{aligned} \quad (3.10)$$

В системах (3.9), (3.10) коэффициенты a_1 , a_2 , b_1 и b_2 определяются зависимостями (3.4) и равны

$$\begin{aligned} a_1 &= \frac{\partial v}{\partial \varphi} \Big|_{\varphi=1}, \quad a_2 = \frac{\partial^2 v}{\partial \varphi^2} \Big|_{\varphi=1} \\ b_1 &= \frac{\partial \vartheta}{\partial \varphi} \Big|_{\varphi=1}, \quad b_2 = \frac{\partial^2 \vartheta}{\partial \varphi^2} \Big|_{\varphi=1} \end{aligned} \quad (3.11)$$

4. Поправка к средней скорости горения. Опуская пока нахождение явного выражения для θ_1 , будем искать постоянную составляющую v_2° , которая определяет поправку к средней скорости горения. Из системы (3.10) следует, что v_2° зависит от стационарной составляющей второго приближения для температуры $\theta_2^\circ(\xi)$. Интегрируя первое уравнение в системе (3.10) по ξ от $-\infty$ до 0, получим соотношение

$$\vartheta_2^\circ = \theta_2^\circ(0) = \frac{\partial \theta_2^\circ(0)}{\partial \xi} - v_2^\circ \theta_0(0) - [v_1 \theta_1]^\circ \Big|_{\xi=0} \quad (4.1)$$

Соотношение (4.1) совместно с выражениями для v_2° и ϑ_2° из (3.10) образуют замкнутую систему алгебраических уравнений. Разрешая эту систему, получим выражение для v_2°

$$v_2^\circ = A \left[\frac{a_1^2 b_1 + \frac{1}{2} (a_2 - b_1 a_2 + a_1 b_2)}{1 - a_1 - b_1} \right] \quad (4.2)$$

где A определяется стационарной составляющей квадрата первого приближения для градиента температуры φ_1

$$A = [(\varphi_1)^2]^\circ = \left[\left(\frac{\partial \theta_1(\tau, 0)}{\partial \xi} \right)^2 \right]^\circ \quad (4.3)$$

В свою очередь градиент φ_1 определяется решением системы (3.9), которое зависит от нулевого приближения производной от температуры $d\theta_0 / d\xi$. Из стационарного распределения (1.3) находим

$$\frac{d\theta_0}{d\xi} = \left(1 - \frac{\alpha v}{1-v}\right) e^\xi + \frac{\alpha v}{1-v} e^{v\xi} \quad (4.4)$$

Подставляя (4.4) в систему (3.9) и предполагая собственные колебания системы затухающими, найдем, что θ_1 представляется в виде

$$\theta_1 = \operatorname{Re} [e^{i\gamma\tau} (A_1 e^{\mu\xi} + A_2 e^{\xi} + A_3 e^{v\xi})] \quad (4.5)$$

тогда

$$\begin{aligned} \mu &= \mu_1 + i\mu_2 = (1/2 + \gamma/R) + i\sqrt{1/2(\sqrt{1+16\gamma^2}-1)} \\ R &= \sqrt{1/2(\sqrt{1+16\gamma^2}-1)} \end{aligned} \quad (4.6)$$

коэффициенты A_1 , A_2 , A_3 удовлетворяют системе уравнений

$$\begin{aligned} \mu g A_1 + (g + i\gamma) A_2 + v A_3 &= 0 \\ \mu h A_1 + h A_2 + (v - v^2 - vh + i\gamma) A_3 &= v \\ (1 - \mu b_1) A_1 + (1 - b_1) A_2 + (1 - vb_1) A_3 &= 0 \end{aligned} \quad (4.7)$$

где обозначено

$$g = a_1 \left(1 - \frac{\alpha v}{1-v}\right), \quad h = a_1 \frac{\alpha v}{1-v} \quad (4.8)$$

Из (4.5) и (4.7) находим градиент температуры у поверхности φ_1

$$\varphi_1 = v \sqrt{\frac{(v-\mu_1)^2 + \mu_2^2}{\Delta_1^2 + \Delta_2^2}} \cos(\gamma\tau + \psi) \quad (4.9)$$

$$\tan \psi = \frac{(v-\mu_1)\Delta_1 - \mu_2\Delta_2}{(v-\mu_1)\Delta_2 + \mu_2\Delta_1} \quad (4.10)$$

где Δ_1 и Δ_2 с точностью до множителя γ равны соответственно действительной и мнимой частям определителя системы (4.7)

$$\begin{aligned} \Delta_1 &= \gamma(\mu_1 b_1 - 1) + \mu_2 a_1 + \frac{v - v^2}{\gamma} [\gamma\mu_2 b_1 + g(1 - \mu_1)] \\ \Delta_2 &= \gamma\mu_2 b_1 + (1 - \mu_1 - \alpha v) a_1 + \frac{v - v^2}{\gamma} [\gamma(1 - \mu_1 b_1) - \mu_2 g] \end{aligned} \quad (4.11)$$

Из (4.9), (4.2) и (4.8) получаем формулу для добавки к средней скорости горения Δu°

$$\frac{\Delta u^\circ}{u^\circ} = \frac{1}{2} \left(\frac{\Delta J}{u^\circ \rho c (T_1^\circ - T_0^\circ)} \right)^2 v^2 \frac{(v - \mu_1)^2 + \mu_2^2}{\Delta_1^2 + \Delta_2^2} \frac{a_1^2 b_1 + 1/2(a_2 - b_1 a_2 + a_1 b_2)}{1 - a_1 - b_1} \quad (4.12)$$

Выражение для добавки Δu° содержит производные от скорости горения u и температуры поверхности T_1 по градиенту температуры у поверхности пороха φ . Однако в практике обычно пользуются стационарными зависимостями скорости u° и температуры T_1° от начальной температуры T_0 , полученными в отсутствие светового облучения (1.8). Поэтому выразим производные a_1 , ..., b_2 через производные от функций F и G . Функции $u(f)$ и $T_1(f)$, как отмечалось выше, неявным образом задаются системой

$$u = F \left(T_1 - \frac{u_f}{u} \right), \quad T_1 = G \left(T_1 - \frac{u_f}{u} \right) \quad (4.13)$$

Используя систему (4.13) и выражение для градиента f° при стационарном облучении (1.5), получим соотношение между производными

$$\begin{aligned} a_1 &= \left(\frac{d \ln u}{d \ln f} \right)_{f=f^\circ} = \frac{k^*}{k^* + r^* - 1} \\ b_1 &= \frac{f}{(T_1^\circ - T_0^*)} \left(\frac{dT_1}{df} \right)_{f=f^\circ} = \frac{k^*}{k^* + r^* - 1} \end{aligned} \quad (4.14)$$

$$a_2 = \frac{(f^\circ)^2}{u^\circ} \left(\frac{d^2 u}{df^2} \right)_{f=f^\circ} = \frac{1}{(k^* + r^* - 1)^2} \left[k^{**'} - \frac{k^* (k^{**'} + r^{**'})}{k^* + r^* - 1} + k^* (1 - r^*) \right] \quad (4.15)$$

$$b_2 = \frac{(f^\circ)^2}{(T_1^\circ - T_0^*)} \left(\frac{d^2 T_1}{df^2} \right)_{f=f^\circ} = \frac{1}{(k^* + r^* - 1)^2} \left[r^{**'} - \frac{r^* (k^{**'} + r^{**'})}{k^* + r^* - 1} - k^* r^* \right]$$

где

$$k^* = \frac{(T_1^\circ - T_0^*)}{u^\circ} \frac{dF}{dT_0^*}, \quad r^* = \frac{dG}{dT_0^*} \quad (4.16)$$

$$k^{**'} = (T_1^\circ - T_0^*) \frac{dk^*}{dT_0^*}, \quad r^{**'} = (T_1^\circ - T_0^*) \frac{dr^*}{dT_0^*} \quad (4.17)$$

Связь между производными по градиенту и производными по начальной температуре при облучении имеет тот же вид, что и в отсутствие облучения [5]. Отличие состоит лишь в том, что параметры k и r следует вычислять не при истинной начальной температуре T_0 , а при эффективной T_0^* . Подставляя соотношения (4.16), (4.17) в выражение для Δu° , получим

$$\frac{\Delta u^\circ}{u^\circ} = \frac{1}{4} \left(\frac{\Delta J}{u^\circ \rho c (T_1^\circ - T_0^*)} \right)^2 v^2 \frac{(v - \mu_1)^2 + \mu_2^2}{\Delta_1^2 + \Delta_2^2} \frac{k^{**'} - k^* (k^* + r^* - 1)}{(k^* + r^* - 1)^2} \quad (4.18)$$

Знак добавки совпадает со знаком последней дроби в выражении (4.18). В случае, если зависимость скорости от начальной температуры представляется в виде $u^\circ \sim e^{\beta T_0}$, где β постоянно, то

$$k^* = (T_1^\circ - T_0^*) \beta, \quad k^{**'} = k^* (r^* - 1)$$

и поправка Δu° отрицательна. Этот результат аналогичен полученному при рассмотрении горения под действием переменного теплового потока [8]. Физически он объясняется тем, что влияние дополнительного прогрева пороха ослабляется с увеличением оттока массы, в то время как влияние охлаждения усиливается с уменьшением потока массы. Зависимость Δu° от частоты v и показателя прозрачности γ выражается множителем

$$v^2 \frac{(v - \mu_1)^2 + \mu_2^2}{\Delta_1^2 + \Delta_2^2} \quad (4.19)$$

Согласно (4.6) и (4.11) при больших частотах $\gamma \gg 1$ и показателе прозрачности v , близком к нулю или сравнимом с единицей (так что $\gamma^{-1} (v - v^2) \ll 1$), для (4.19) справедливо асимптотическое выражение (с точностью до $O(1/\gamma)$)

$$v^2 \frac{\gamma - (v - 1/2) \sqrt{2\gamma}}{[\gamma \sqrt{1/2\gamma} + \gamma(1/2b_1 - 1) + a_1 \sqrt{1/2\gamma}]^2 + [\gamma \sqrt{1/2\gamma} b_1 + (1/2 - \alpha v - \sqrt{1/2\gamma}) a_1]^2} \quad (4.20)$$

Из (4.20) следует, что в пределе $\gamma \rightarrow \infty$ добавка Δu° стремится к нулю. По абсолютной величине Δu° тем больше, чем больше коэффициент прозрачности v .

В другом предельном случае $\gamma \rightarrow 0$ и одновременно $\gamma \ll (v - v^2)$ выражение (4.19) стремится к

$$(v - 1)^2 [\alpha a_1 + (v - 1)(1 - b_1 - g)]^{-2} + O(\gamma^2) \quad (4.21)$$

Величина поправки $\Delta u^\circ / u^\circ$ может достигать сравнимых с единицей значений только при достаточно больших амплитудах колебания светового потока (ϵ близко к единице). При умеренных амплитудах ΔJ поправка $\Delta u^\circ / u^\circ$ невелика. Так, например, для пороха H , показатель прозрачности σ которого в широком диапазоне световых волн равен 15 см^{-1} , находим, что при $p = 1 \text{ атм}$, $T_0 = -100^\circ \text{C}$, $J^\circ = 8.5 \text{ кал/см}^2 \cdot \text{сек}$, $\Delta J = 8 \text{ кал/см}^2$, $\omega = 5-10 \text{ гц}$ поправка $|\Delta u^\circ / u^\circ|$ составляет $\sim 10\%$.

Близи границы устойчивости стационарного режима горения и при частотах γ , близких к собственной частоте пороха, поправка будет быстро возрастать. В этом случае следует ожидать достаточно больших изменений средней скорости горения при периодическом облучении, которые могут привести к погасанию.

В заключение авторы благодарят О. И. Лейпунского и В. Б. Либровича за обсуждение и ряд советов.

Поступила 16 VII 1970

ЛИТЕРАТУРА

1. Ковалевский А. А., Хлевной С. С., Михеев В. Ф. К вопросу о зажигании баллистных порохов. Физика горения и взрыва, 1967, т. 3, № 4.
2. Ohlemiller T. J., Summerfield M. A critical Analysis of arc ignition of solid propellants. AIAA Journal, 1968, vol. 6, No. 5.
3. Хлевной С. С., Михеев В. Ф. Влияние начальной температуры и прозрачности нитроглицеринового пороха на зажигание его световым излучением. Физика горения и взрыва, 1968, т. 4, № 4.
4. Зельдович Я. Б. К теории горения порохов и взрывчатых веществ. ЖЭТФ, 1942, т. 12, № 11, 12.
5. Новожилов Б. В. Критерий устойчивости стационарного режима горения пороха. ПМТФ, 1965, № 4.
6. Конев Э. В., Хлевной С. С. О горении пороха при наличии светового излучения. Физика горения и взрыва, 1966, т. 2, № 4.
7. Зенин А. А., Недедова О. И. О горении баллистного пороха в широком диапазоне начальных температур. Физика горения и взрыва, 1967, т. 3, № 1.
8. Ассовский И. Г., Истратов А. Г. Горение пороха при гармонически меняющемся потоке тепла в зону пламени. Физика горения и взрыва, 1970, т. 5, № 4.

¹ Михеев В. Ф. Зажигание порохов световым излучением. Канд. дисс., Ин-т химической кинетики и горения СО АН СССР, Новосибирск, 1970.